

НЕИЗОТЕРМИЧЕСКОЕ ТЕЧЕНИЕ ПЛАЗМЫ В ПЛОСКОМ
МГД-КАНАЛЕ

Ю. В. Саночкин, С. С. Филиппов

(*Москва*)

Имеется большое количество работ (см. библиографию в обзоре [1]), в которых вслед за Гартманом были рассмотрены различные варианты задачи о ламинарном установившемся движении проводящей среды в плоском канале в присутствии поперечного магнитного поля. Однако во всех указанных работах предполагалось, что коэффициенты переноса — величины постоянные, не зависящие от характеристик потока, в частности, от температуры. Вследствие этого предположения динамическая и тепловая задачи разделялись, и распределение температуры не оказывало никакого влияния на динамические характеристики потока.

В низкотемпературной плотной плазме, например, проводимость — очень быстро растущая функция температуры (ее аппроксимируют формулами $\sigma \sim e^{-A/T}$ или $\sigma \sim T^{10-13}$). Очевидно, в этом случае необходим учет непостоянства коэффициентов переноса, и даже для несжимаемой жидкости динамическая и тепловая задачи не разделяются. Будем в дальнейшем называть такое течение неизотермическим, сравнивая его с движением, когда коэффициенты переноса считаются постоянными, которое условно для краткости назовем изотермическим.

Важность эффектов, обусловленных неизотермичностью течения, была показана в работах [2, 3]. Гистерезисные явления в поведении сопротивления трения и теплоотдачи, обнаруженные в этих работах, качественно рассматриваются в работе [4]. Наконец, в работе [5] рассмотрено течение жидкости в МГД-канале с проводимостью, зависящей от температуры, и обращено внимание на необходимость учета неизотермичности. В частности, в этой работе продемонстрировано появление немонотонных профилей скорости с точками перегиба. Однако автор делает ряд противоречивых предположений. Так, при рассмотрении задачи с тепловым потоком вдоль течения в то же время предполагается, что проводимость меняется только поперек канала. Принятая в [5] зависимость проводимости от температуры весьма далека от реальности, а температурная зависимость вязкости и теплопроводности вообще не учитывалась.

В настоящей работе изучается течение плазмы в плоском МГД-канале в отсутствие продольного потока тепла с учетом зависимости всех коэффициентов переноса от температуры. В отличие от работы [5], наряду с более реалистичным выбором указанных зависимостей при решении задачи учитывается также вязкая диссипация энергии.

1. Рассмотрим задачу об отыскании распределений скорости $u(y)$ и температуры $T(y)$ для установленного течения вязкой проводящей жидкости в плоском канале, образованном параллельными непроводящими стенками $y = \pm a$, которые поддерживаются при постоянной температуре T_0 . Пусть вдоль оси x действует градиент давления $\partial p / \partial x = -P < 0$, вдоль оси y приложено однородное магнитное поле B и вдоль оси z — однородное электрическое поле E . Предполагается, что приложенные поля не нарушают изотропии свойств жидкости. Если стационарное решение задачи, зависящее только от y , существует, то оно должно удовлетворять следующим уравнениям, вытекающим из общей системы уравнений магнитной гидродинамики:

$$\frac{d}{dy} \left(\eta \frac{du}{dy} \right) - \sigma (E + uB) B + P = 0; \quad \frac{d}{dy} \left(\kappa \frac{dT}{dy} \right) + \sigma (E + uB)^2 + \eta \left(\frac{du}{dy} \right)^2 = 0 \quad (1.1)$$

с граничными условиями

$$u(\pm a) = 0, \quad T(\pm a) = T_0 \quad (1.2)$$

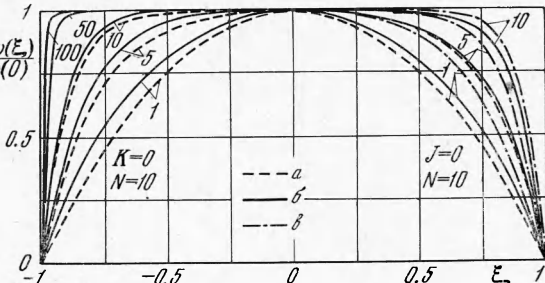
При постоянных коэффициентах переноса σ , κ , η уравнения (1.1) линейны, причем первое уравнение решается независимо от второго (задача

Гартмана). В общем случае σ , κ , η зависят от температуры, система (1.1) нелинейна и динамическая задача неотделима от тепловой.

Легко видеть, что из параметров задачи можно образовать три независимых безразмерных комбинации. Будем использовать в качестве критериев подобия следующие величины:

$$M = aB \sqrt{\frac{\sigma_0}{\eta_0}} \quad (1.3)$$

$$K = -\frac{E\eta_0}{BP^2a^2}, \quad N = \frac{P^2a^4}{\kappa_0\eta_0 T_0}$$



Фиг. 1

Выберем в качестве масштабов скорости и температуры величины $u_P = Pa^2/\eta_0$ и $T_P = P^2a^4/\kappa_0\eta_0$. Положив

$$\xi = \frac{y}{a}, \quad v = \frac{u}{u_P}, \quad w = v - K, \quad \theta = \frac{T - T_0}{T_P}, \quad s = \frac{\sigma}{\sigma_0}, \quad k = \frac{\kappa}{\kappa_0}, \quad h = \frac{\eta}{\eta_0}$$

где $\sigma_0, \kappa_0, \eta_0$ — значения σ, κ, η при $T = T_0$, и обозначая дифференцирование по ξ штрихом, запишем систему уравнений (1.1) в безразмерном виде

$$(hw')' - M^2sw + 1 = 0, \quad (k\theta')' + M^2sw^2 + h(w')^2 = 0 \quad (1.4)$$

Ввиду симметрии задачи по ξ достаточно найти решение на отрезке $(0,1)$. В этом случае граничные условия следует взять в виде

$$w'(0) = 0, \quad w(1) = -K, \quad \theta'(0) = 0, \quad \theta(1) = 0 \quad (1.5)$$

От абсолютной температуры зависят только σ, κ, η , поэтому N входит лишь в функции s, k, h . Для линейной задачи эти функции тождественно равны единице и критерий N выпадает. Здесь предполагается степенная зависимость σ, κ, η от температуры

$$\sigma = \sigma_0 \left(\frac{T}{T_0}\right)^\alpha, \quad \kappa = \kappa_0 \left(\frac{T}{T_0}\right)^\beta, \quad \eta = \eta_0 \left(\frac{T}{T_0}\right)^\gamma \quad (1.6)$$

или

$$s = (1 + N\theta)^\alpha, \quad k = (1 + N\theta)^\beta, \quad h = (1 + N\theta)^\gamma \quad (1.7)$$

Этот случай представляет интерес при рассмотрении течений плазмы. Так, для полностью ионизованной плазмы $\alpha = 3/2$, $\beta = \gamma = 5/2$; для слабо ионизованного газа характерна очень сильная зависимость коэффициента электропроводности от температуры, которую аппроксимируют обычно степенной функцией с $\alpha \sim 10$. При $\alpha = \beta = \gamma = 0$ задача вырождается в линейную, для которой имеется всего два критерия подобия M и K . Показатели α, β, γ следует рассматривать как дополнительные критерии подобия. Таким образом, решение поставленной нелинейной краевой задачи (1.4, 5) зависит от шести безразмерных параметров, т. е. имеет вид

$$v = v(\xi; K, M, N, \alpha, \beta, \gamma), \quad \theta = \theta(\xi; K, M, N, \alpha, \beta, \gamma) \quad (1.8)$$

В общем случае оно может быть получено лишь численным способом. При сравнительно небольших значениях M и N использовался метод сопряженных уравнений с итерациями [6]. При больших значениях M и N единственным приемлемым оказался метод конечных разностей.

Задачу можно поставить иначе, задавая вместо поля E силу тока I на единицу длины канала. Тогда в качестве критерия подобия вместо

К удобно ввести безразмерную среднюю плотность тока в канале

$$J = IB / 2Pa \quad (1.9)$$

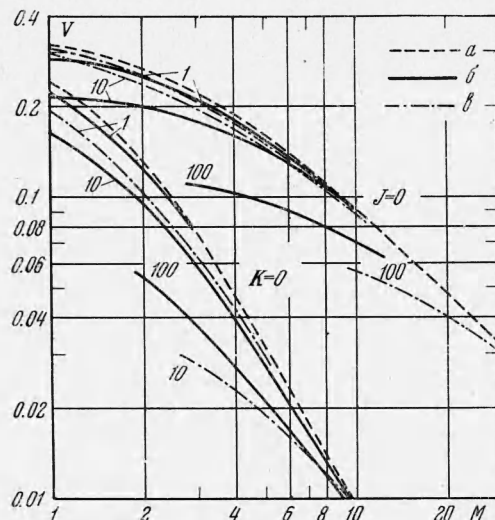
а граничные условия (1.5) заменить следующими:

$$w'(0) = 0, \quad w'(1) = J - 1, \quad \theta'(0) = 0, \quad \theta(1) = 0 \quad (1.10)$$

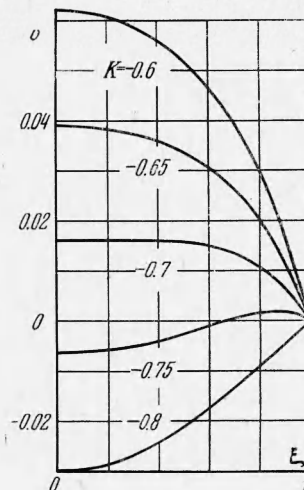
Таким образом, сила тока однозначно связана с производной скорости у стенки. Из уравнений (1.4) может быть получено выражение для безразмерной средней скорости (половины объемного расхода жидкости)

$$V = \frac{1}{a} \int_0^a \frac{u(y)}{u_P} dy = -w(1)[1 + w'(1)] - \theta'(1) = KJ + Q \quad (1.11)$$

где Q — величина безразмерного теплового потока в стенку канала.



Фиг. 2



Фиг. 3

Приводим краткую классификацию возможных режимов течения:

- (1) $V < 0, K < 0, J > 0$ — режим кондукционного насоса;
- (2) $V = 0, K \geq 0, J \geq 0$ — заширание канала;
- (3) $V > 0, K < 0, J \geq 0$ — режим электромагнитного тормоза;
- (4) $V > 0, K = 0, J > 0$ — режим короткозамкнутого МГД-генератора;
- (5) $V > 0, K > 0, J > 0$ — режим МГД-генератора;
- (6) $V > 0, K > 0, J = 0$ — режим МГД-генератора на холостом ходу;
- (7) $V > 0, K > 0, J < 0$ — режим МГД-ускорителя.

В дальнейшем основное внимание будет уделено рассмотрению режимов (4) и (6).

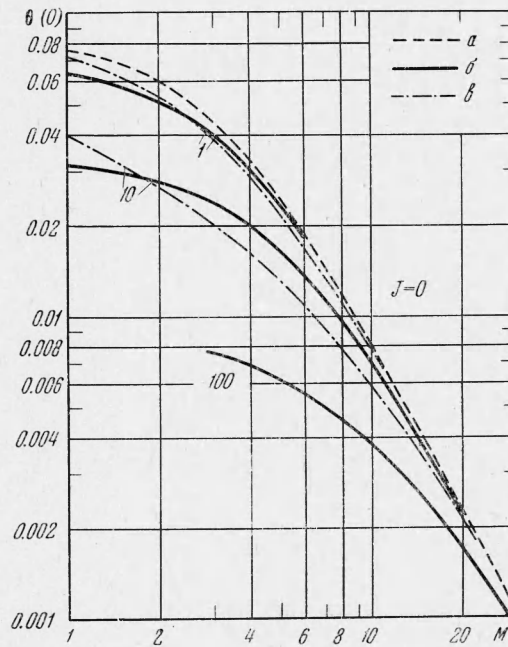
2. Для рассматриваемой тепловой задачи распределение температуры монотонно, и коэффициенты переноса плазмы также монотонно возрастают к центру канала. Это означает, что при прочих равных условиях плотность тока и пондеромоторная сила в середине потока должны превосходить соответствующие величины в изотермическом случае, т. е. неизотермичность приводит к уплощению профиля скорости и уменьшению ее среднего значения, если пондеромоторная сила тормозит поток; этот эффект увеличивается с ростом N и a . Степень деформации профиля скорости и изменение ее величины зависят и от режима течения. Например, при $K = 0$ плотность тока нарастает к центру, не меняя знака по сечению канала. Увеличение проводимости еще более вытягивает профиль тока, плавно увеличивая тормозящую силу в центре. В случае $J = 0$, когда плотность

тока по сечению знакопеременна, имеет место дополнительное неизотермическое торможение ядра потока, тогда как ускорение пондеромоторной силой внешних областей увеличивается слабее. Хотя в обоих случаях в результате приходим к более наполненному профилю скорости, можно ожидать, что эффекты неизотермичности сильнее проявятся в случае $K = 0$. Приведенные рассуждения иллюстрируются профилиями скорости, изображенными на фиг. 1. Цифры на кривых указывают значения числа M . На всех фигурах принято следующее соответствие между значениями α , β , γ и видом кривых: а) $\alpha = \beta = \gamma = 0$; б) $\alpha = 3/2$, $\beta = \gamma = 5/2$; в) $\alpha = 10$, $\beta = \gamma = 0$. В случае $J = 0$ при $M \geq 10$ сплошные и пунктирные линии сливаются, тогда как в случае $K = 0$ при $M = 10$ имеется еще заметная разница. На фиг. 2 показано изменение средней скорости V от M для тех же случаев (цифры на кривых указывают значения N). Как видно, учет неизотермичности приводит к уменьшению расхода, причем с ростом N и α разница увеличивается. С ростом M , как и в изотермическом случае, наблюдается более сильное торможение потока при $K = 0$, чем при $J = 0$.

Наиболее наглядно разница между линейной и нелинейной задачами проявляется при рассмотрении течения в режиме запирания канала. Как известно, в изотермическом случае при $K = -M^{-2}$ одновременно с V меняется знак v для всех значений ξ . В неизотермическом случае это оказывается невозможным, и вблизи режима $V = 0$ существует некоторая переходная область, в которой $v(\xi)$ знакопеременна, т. е. профиль скорости имеет точки перегиба. На фиг. 3 показано, как влияет изменение K на величину и профиль скорости при $M = 1$, $N = 1$, $\alpha = 3/2$, $\beta = \gamma = 5/2$.

Заметим, что немонотонные профили скорости с точками перегиба появляются с ростом N и при других режимах течения (например, при $K = 0$, $N \geq 100$). Их форма может быть объяснена распределением температур, токов и балансом сил в каждом конкретном случае, однако неясно, могут ли реализоваться такие состояния. Если выполнены условия применимости теоремы Рэлея — Толлмина, то последняя определенно указывает на их неустойчивость. Это, видимо, имеет место, когда параметр гидромагнитного взаимодействия $S = M^2/R$ и магнитное число Рейнольдса $R_m = \sigma_0 u a$ малы. В других случаях вопрос требует особого рассмотрения.

На фиг. 4 показана зависимость максимальной температуры $\theta(0)$ от M для случая $J = 0$. (В случае $K = 0$ имеет место аналогичная картина.) Обращает на себя внимание тот факт, что учет неизотермичности уменьшает температуру в канале как для полностью ионизованной, так и для слабо ионизованной плазмы. Физически это объясняется уменьшением джоулева нагрева вследствие увеличения проводимости. Уменьшение нагрева сильно зависит от числа N (цифры на кривых).



Фиг. 4

3. Остановимся, наконец, на влиянии неизотермичности течения на коэффициенты поверхностного трения и теплоотдачи в стенки. В рассматриваемую задачу не входит величина плотности жидкости (ρ , стало быть,

формально решения справедливы для любых чисел R). Поэтому удобно вместо обычного коэффициента трения

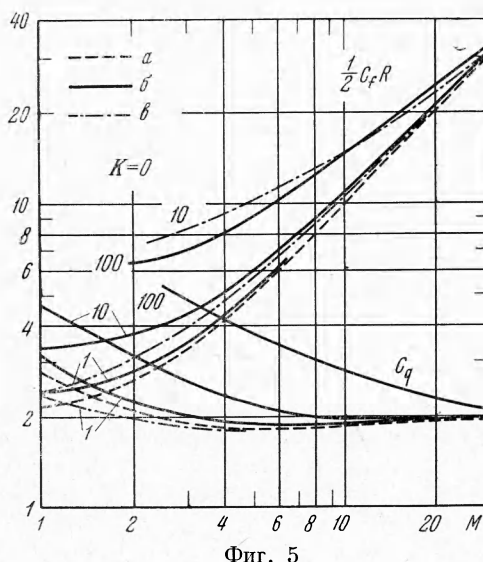
$$C_f = -\frac{\eta_0 [du/dy]_{y=a}}{\rho u^2(0)/2}$$

рассматривать безразмерную комбинацию

$$C_f R / 2 = -v'(1) / v(0) \quad (3.1)$$

Безразмерный коэффициент теплоотдачи имеет вид

$$C_q = -\frac{\kappa_0}{q^\circ} \left[\frac{dT}{dy} \right]_{y=a} = -\frac{\theta'(1)}{\theta(0)} \quad (3.2)$$



Фиг. 5

Здесь в качестве теплового потока выбрана величина q° . Величины (3.1) и (3.2) в функции M построены на фиг. 5 для случая $K = 0$ (цифры на кривых указывают значения числа N). Как и следовало ожидать, вследствие большей наполненности профилей скорости сопротивление трения в неизотермическом случае больше, причем разница увеличивается с ростом N и a . Семейство убывающих кривых показывает поведение коэффициента C_q . В случае $J = 0$ поведение кривых для коэффициента трения остается качественно таким же, тогда как поведение коэффициента C_q резко меняется: кривые $C_q(M)$ ведут себя подобно кривым поверхностного трения. Указанные зависимости нетрудно понять из рассмотрения поведения v и θ при больших M для случаев $K = 0$ и $J = 0$ в изотермической задаче, где все формулы элементарны.

Напомним в заключение, что во многом обсуждавшиеся выше неизотермические эффекты обусловлены предположением положительности параметров α , β , γ , как это имеет место в случае плазмы. Для других сред, например жидких металлов, α может быть отрицательным, и не будет удивительным, если некоторые из полученных эффектов изменят величину или даже знак.

Авторы глубоко благодарны М. В. Масленникову и Ю. С. Сигову за ценные советы по выбору численного метода решения.

Поступила 18 IV 1966

ЛИТЕРАТУРА

- Р е г и р е р С. А. Ламинарные течения проводящей жидкости в трубах и каналах при наличии магнитного поля. Магнитная гидродинамика, 1965, № 1.
- B le w i s s Z. O. Magnetogasdynamics of hypersonic Couette flow. J. Aerospace Sci., 1958, vol. 25, No. 10.
- B u s h W. B. Compressible flat-plate boundary-layer flow with an applied magnetic field. J. Aerospace Sci., 1960, vol. 27, No. 1.
- В у л и с Л. А., Д ж а у г а ш т и н К. Е. Магнитогидродинамическое течение Күэтта. Ж. техн. физ., 1964, т. 34, № 12.
- H e y w o o d J. B. An MHD channel flow with temperature dependent electrical conductivity. AIAA J., 1965, vol. 3, No. 9.
- Л а н с Дж. Н. Численные методы для быстродействующих вычислительных машин. Изд. иностран. лит., 1962.